宁南山区冬小麦冠层高光谱特征及其对干旱的响应

张 磊1,2,刘 静1,2,张学艺2,韩颖娟2,袁海燕2

(1.宁夏气象防灾减灾重点实验室,宁夏 银川 750002; 2.宁夏气象科学研究所,宁夏 银川 750002)

摘 要:以中引6号冬小麦为观测对象,大田利用 Unispec-SC 型单通道便携式光谱仪观测不同灌水处理条件小麦冠层光谱特征,并结合相应遥感指数,筛选对干旱响应敏感的指数。结果表明,宁南山区冬小麦灌浆期与乳熟期的冠层光谱特征存在差异;虽然不同干旱胁迫下的冬小麦冠层光谱反射率曲线形式基本类似,但在大多数波段,反射率值的大小明显不同;在应用各种遥感指数监测宁南山区冬小麦干旱时,根据具体情况可优先在 RVI 和 NDVI 中选择,其次可以考虑选用 EVI。

关键词:宁南山区;冬小麦;光谱特征;干旱

中图分类号: S423 文献标识码: A 文章编号: 1000-7601(2010)02-0012-05

干旱是宁南山区农作物产量提高最主要的限制 因素,冬小麦作为宁南山区的主要农作物,其抗旱保 产增产多年来一直受到重视。众多研究者就此问题 进行过多方面的研究和探索,并取得了很多成 果[1-4]。冬小麦旱情监测及其影响评估是其中的一 个重要研究方向,可为政府部门和农户开展农业抗 早自救提供重要依据。传统的早情监测方法主要是 旱情测量站点测定土壤水分含量,这种方法费时费 力,并且不能全面、大范围开展。从20世纪60年代 以来,遥感技术迅速发展,已越来越广泛地应用于农 业、资源环境、气象等各个领域[5~11]。农业遥感方 面.大范围快速准确地监测农作物受旱情况、评估干 旱对农作物生长(特别是产量)的影响程度是一个重 要方面,也是农业遥感研究的重要课题,遥感技术在 农业干旱监测方面发挥了巨大作用[12]。前述的大 多数遥感技术由于光谱范围相对较窄并且连续性不 够,在相关农业信息监测的定量化和精细化方面还 存在一定不足,近年来迅速发展的高光谱遥感技术 可以获取许多非常窄且光谱连续的图像数据,为农 业中的多层次定量分析与应用开辟了良好前景,因 此,逐渐成为农业遥感应用的重要前沿技术手段之 一[13~15]。目前,已有一些研究者将高光谱遥感技 术应用于农业干旱监测[16,17],但在宁夏本区,这方 面的研究还鲜见报导。

本文根据野外观测资料,分析了宁南山区正常 生长的冬小麦灌浆期和乳熟期冠层高光谱特征、以

及遭受不同程度干旱胁迫的冬小麦冠层高光谱差异,以 EOS/MODIS 遥感资料的通道设计为参照,初步比较并筛选了可以监测宁南山区冬小麦水分胁迫程度的相应遥感指数,为大范围准确开展冬小麦干旱及长势监测提供理论依据。

1 材料与方法

观测地点为宁夏隆德县联财乡,位于宁夏南部六盘山西麓,境内沟谷纵横,水土流失严重,为黄土丘陵地带。该地区冬小麦田多为旱地。选择的试验地点有一定的灌溉条件,正常年份灌溉两水可保障冬小麦正常生长,试验所用冬小麦品种为"中引6号",试验时间2008年6月份。试验设三个处理:全生育期灌2水(能正常生长),全生育期灌1水(轻度干旱胁迫),全生育期不灌水(重度干旱胁迫),每处理面积600 m²左右。

冬小麦冠层光谱特征采用美国产 Unispec - SC型单通道便携式光谱仪进行测定,该光谱仪探测波段为310~1 130 nm,分辨率<10 nm,绝对精度<0.3 nm。每次观测在北京时间10:00~14:30 进行,正常生长的冬小麦(灌两水处理)在灌浆期(6月8日)和乳熟期(6月26日)测定,有干旱胁迫的两个处理于6月26日测定(此时第二水已经灌完,缺水的两个处理冬小麦受胁迫的特征已经显现)。每处理选取不同地点测量10次,取平均值作为该处理的光谱反射值。光谱仪探头设置在距离地面1.5 m处,视角

收稿日期:2009-10-20

基金項目,科技部农业科技成果转化资金项目"宁夏重大农业气象灾害监测预警、损失评估及防控技术"(2006GB24160429);科技部科研院所社会公益研究专项"气候变化背景下宁夏干旱监测预警系统研究"(2005DIB3J103)

作者简介:张 磊(1974--),男,宁夏永宁人,硕士,高级工程师,主要从事农业气象、生态学等方面的研究。E-mail:zble.131@163.com。

为8°。测量过程中,及时在每次观测前后进行标准 白板校正。

2 结果与分析

2.1 冬小麦灌浆期和乳熟期冠层反射光谱特征

如图 1,隆德灌 2 水冬小麦灌浆期的光谱反射率曲线符合冬小麦的基本光谱特征,在绿光波段(540~570 nm)出现较小的反射峰,红光波段(660~680 nm)由于强烈吸收导致出现波谷,680~760 nm出现"红边"效应,反射率从 0.064 急剧增大到接近 0.353,760~920 nm 为近红外高反射率平台,反射率

从 0.352 缓慢增高到 0.451;920~980 nm 冬小麦光 谱出现明显的反射峰,其最高值出现在 940 nm 左右,此后从 980 nm 左右开始反射率又一次出现"徒增",1 095 nm 处达到最大值 0.919,此后反射率在 1 095~1 130 nm 急剧减小。冬小麦乳熟期光谱反射率同灌浆期明显不同:在 310~570 nm 段的反射率同灌浆期接近,但在绿光波段没有出现反射峰,在红光波段也没有出现吸收谷;570~718 nm 段反射率明显比灌浆期高,从 718 nm 开始,乳熟期冬小麦冠层反射率明显小于灌浆期,到 1 100 nm 之后,反射率接近。

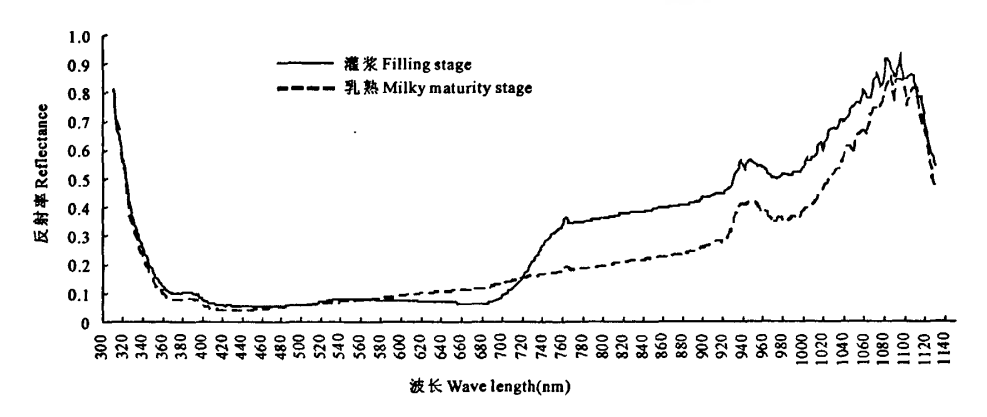


图 1 冬小麦不同发育期冠层光谱反射率

Fig.1 Spectral reflectance of winter wheat canopy in different growing stages

2.2 不同灌水处理的冬小麦灌浆期冠层光谱反射 特征

从图 2 可以看出,在 310~1 130 nm 波段,3 种处理的冬小麦光谱反射率曲线的形式基本类似,在绿光波段(540~570 nm)出现较小的反射峰,红光波段(660~680 nm)出现吸收谷,680~760 nm 出现"红

边"效应,940 nm 左右和 1 095 nm 处出现两个反射 峰。在 360~930 nm 波段,虽然三种处理的冬小麦 冠层光谱反射率曲线形式类似,但反射率值明显不同:360~741 nm 波段范围,随着缺水程度增加,反射 率随之增大,并且增加幅度基本一致;而在 741~930 nm 波段范围,随着缺水程度增加,反射率随着减小。

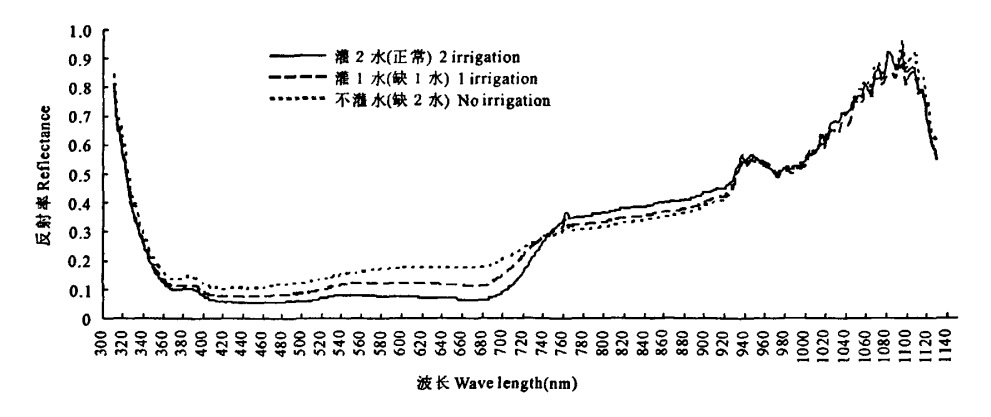


图 2 不同灌水处理冬小麦灌浆期冠层光谱反射率

Fig.2 Spectral reflectance of winter wheat canopy in different irrigation treatments

2.3 表征干旱影响程度的光谱指标选择

按照 MODIS 相应通道的光谱范围,将高光谱探测数据进行各通道反射率平均,以模拟 MODIS 资料各通道反射率(表 1)。

表 1 按照 MODIS 各通道光谱范围折算的 不同灌水处理冬小麦冠层反射率

Table 1 Wheat canopy reflection ratio divided by channel spectrum of EOS MODIS

间道 Clannles	Range of	灌 2 水反射率 Reflection ratio of 2 irrigation	灌 1 水反射率 Reflection ratio of 1 irrigation	不權水反射率 Reflection ratio of no irrigation
CHI	620 ~ 670	0.0684	0.1154	0.1747
CH2	841 ~ 876	0.3987	0.3632	0.3475
СНЗ	459 ~ 479	0.0554	0.0776	0.1104
CH4	545 ~ 565	0.0817	0.1201	0.1568
CH8	405 ~ 420	0.0617	0.0769	0.1044
CH9	438 ~ 448	0.0533	0.0725	0.1022
CH10	483 ~ 493	0.0581	0.0814	0.1167
CHII	526 ~ 536	0.0761	0.1074	0.1420
CH12	546 ~ 556	0.0819	0.1191	0.1546
CH13	662 ~ 672	0.0638	0.1096	0.1740
CH14	673 ~ 683	0.0636	0.1092	0.1749
CH15	743 ~ 753	0.3001	0.2932	0.2838
CH16	862 ~ 877	0.4047	0.3685	0.3537
CH17	890 ~ 920	0.4363	0.4048	0.3929
CH18	931 ~ 941	0.5380	0.5089	0.5140
CH19	915 ~ 965	0.5180	0.4935	0.4977

表征植被生长状况的光谱参数参照相应计算公

式,用该平均反射光谱资料近似计算各种指数,构建了反射光谱的 RVI、NDVI 等常用指数。各种参数的原式和根据 MODIS 通道光谱范围选择的通道列于表 2。按照表 2 中构建的参数,如果光谱波长包含在该通道中间,就用该通道的反射值作为输入因子,如果要求的波长不在之中,就用此波段(长)的实际反射值。表 2 中除红边植被指数(NDVI_{Rededge})、红边斜率(Rededge)和红边位置波长(\(\lambda_{rep}\))的计算式中含有 MODIS 无法满足所需的波长(如 710 nm、760 nm)外,其他指数所要求的波长均在其中。

表 3 是根据表 2 计算的不同处理冬小麦灌浆期 各种指数值,从中可以看出各指数值随灌水处理的 不同均有所变化,并且各指数值变化程度也不相同。 根据表 3 计算了不同灌溉条件下相应各指数值的比 值及差值,计算方法和结果见表 4。若以不灌水指 数值的比值来衡量, RVI 对冬小麦干旱的响应最敏 感,其后依次是 NDVI_{Rededge}、EVI、Rededge、NDVI、 SAVI_{Bededge}、SAVI 和 RDVI,其他指数的比值均超过 50,此处暂不做考虑。在这些对干旱响应相对敏感 的指数中,由于 NDVI_{Rededge}和 Rededge 的计算式中含 有 MODIS 无法满足所需的波长,故将 NDVI Rededee 和 Rededge 排除。在余下的 RVI、EVI、NDVI、 SAVI_{Rededge}、SAVI 和 RDVI 中,若以差值的均一性来 衡量,NDVI对干旱的响应情况最好,其后依次是 EVI、SAVIRededge、SAVI、RDVI和 RVI。综合考虑,在应 用这些指数表征干旱情况时,根据具体情况可优先 在 RVI 和 NDVI 中选择,其次可以考虑选用 EVI。

表 2 表征植被状况的各种指数

Table 2 Index calculation models of spectrum reflection ratio representing plant growth

名称 Name	代码 Code	计算方法 Calculational method	
比植被指数	RVI	$RVI = R_{CH2}/R_{CH1}$	
差植被指数	DVI	$DVI = R_{CH2} - R_{CH1}$	
妇一化植被指数	NDVI	$NDVI = (R_{CH2} - R_{CH1})/(R_{CH2} + R_{CH1})$	
增强植被指敷	EVI	EVI = $2.5(R_{CH2} - R_{CH14})/(1 + R_{CH2} + 6R_{CH14} - 7.5R_{CH3})$ 参考: EVI = $2.5(R_{NIR} - R_{600})/(1 + R_{NIR} + 6R_{600} - 7.5R_{460})$	
红边植被指数	NDVI _{Radodge}	$NDVI_{Rododge} = (R_{760} - R_{CH14})/(R_{760} + R_{CH14})$ 参考: $NDVI_{Rododge} = (R_{760} - R_{680})/(R_{760} + R_{680})$	
红边斜率	Rededge	Rededge = $(R_{760} - R_{CH4})/(\lambda_{760} - \lambda_{600}) * 1000$ \$\frac{5}{2}: Rededge = $(R_{760} - R_{600})/(\lambda_{760} - \lambda_{600}) * 1000$	
红边位置波长	λ_{rep}	$\begin{split} &\lambda_{rep} = 710 + 50[(R_{CH2} - R_{CH14})/2 - R_{710}]/(R_{760} - R_{710}) \\ & \raightarrow \raightarrow 3 + 50[(R_{810} - R_{660})/2 - R_{710}]/(R_{760} - R_{710}) \end{split}$	
红边土壤调整植被指数	SAVI _{Rededge}	$SAVI_{Rodolge} = 1.5(R_{CH16} - R_{CH14})/(R_{CH16} + R_{CH13} + 0.5)$	
土壤调整植被指数	SAVI	$SAVI = (R_{CH2} - R_{CH1}) * (1 + 0.5) / (R_{CH2} + R_{CH1} + 0.5)$	
转换型土壤调整指数	TSAVI	TSAVI = 10.489(R _{CH2} - 10.489R _{CH1} - 6.604)/(10.489R _{CH2} + R _{CH1} - 69.269) 参考: TSAVI ≈ 10.489(R _{Nir} - 10.489R _{Red} - 6.604)/(10.489R _{Nir} + R _{Red} - 69.269	

续表 2

名称 Name	代码 Code	计算方法 Calculational method	
修 改型二次土壤调整指数	MSAV12	MSAVI2 = $0.5 2(R_{CHZ} + 1) - SQRT[(2R_{CHZ} + 1)^2 - 8(R_{CHZ} - R_{CHI})] $ 参考: MSAVI2 = $0.5 2(R_{Nir} + 1) - SQRT[(2R_{Nir} + 1)^2 - 8(R_{Nir} - R_{Red})] $	
垂直植被指敷	PVI	PVI = $0.5(R_{CH2} - 10.489R_{CH1} - 6.604)/SQRT(1 + 10.489^2)$ \$\frac{4}{5}:PVI = $0.5(R_{Ne} - 10.489R_{Red} - 6.604)/SQRT(1 + 10.489^2)$	
再归一化植被指数	RDVI	RDVI = SQRT(NDVI * DVI)	
绿度调节植被指敷	GSAVI	GSAVI = $1.5(R_{CH2} - R_{CH4})/(R_{CH2} + R_{CH4} + 0.5)$ 参考: GSAVI = $1.5(R_{Nir} - R_{Green})/(R_{Nir} + R_{Green} + 0.5)$	

表 3 根据表 2 计算的各样本不同光谱指数

Table 3 Parameters of spectrum reflection ratio calculated by table 2

指数名称 Index name	代 码 Code	推 2 水(正常) 2 irrigation	推 1 水(鉄 1 水) 1 irrigation	不灌水(鉄2水) no irrigation
比植被指数	RVI	5.8277	3.1461	1.9893
差植被指数	DVI	0.3302	0.2477	0.1728
归一化植被指数	NDVI	0.7071	0.5176	0.3309
增强植被指数	EVI	0.6139	0.4421	0.2750
红边植被指数	$NDVI_{Rededge}$	0.6859	0.4881	0.2663
红边斜率	Rededge	3.4697	2.6020	1.5875
红边位置波长	λ_{rep}	720.79	692.71	629.69
红边土壤调整植被指数	SAVI _{Rodedge}	0.5283	0.3977	0.2609
土壤調整植被指数	SAVI	0.5122	0.3797	0.2536
转换型土壤调整指数	TSAVI	1.1168	1.1961	1.2964
修改型二次土壤调整指数	MSAV12	1.0151	0.8636	0.7371
垂直植被指数	PVI	- 0.3285	- 0.3536	-0.3839
再归一化植被指数	RDVI	0.4832	0.3581	0.2392
绿度调节植被指数	GSAVI	0.4849	0.3708	0.2849

表 4 根据表 3 计算的各处理指数值的比值及差值

Table 4 Ratio and difference of Parameters of spectrum reflection calculated by Table 3

指数 Index	灌 2 水指数值 比值(100 * 灌 2 水 /灌 2 水) Ratio of 2 irrigation index	權 1 水指数值 比值(100 * 權 1 水 /權 2 水) Ratio of 1 irrigation index	不准水指数值 比值(100 * 不灌水 /灌 2 水) Ratio of no irrigation index	差值(權 2 水指數 值比值 - 權 1 水 指數值比值) Difference(2 irrigation - 1 irrigation)	差值(權 1 水指数 值比值 - 不灌水 指数值比值) Difference(1 irrigation - no irrigation)
RVI	100	54.0	34.1	46.0	19.9
DVI	100	75.0	52.3	25.0	22.7
NDVI	100	73.2	46.8	26.8	26.4
EVI	100	72.0	44.8	28.0	27.2
$\mathrm{NDVI}_{\mathrm{Redodge}}$	100	71.2	38.8	28.8	32.3
Rededge	100	75.0	45.8	25.0	29.2
λ_{rep}	100	96.1	87.4	3.9	8.7
SAVI _{Rededge}	100	75.3	49.4	24.7	25.9
SAVI	100	74.1	49.5	25.9	24.6
TSAVI	100	107.1	116.1	-7.1	-9.0
MSAV12	100	85.1	72.6	14.9	12.5
PVI	100	107.6	116.8	-7.6	-9.2
RDVI	100	74.1	49.5	25.9	24.6
GSAVI	100	76.5	58.7	23.5	17.7

3 讨论

一年的田间观测试验初步表明,在宁南山区,冬 小麦灌浆期与乳熟期的冠层光谱反射趋势类似,具 有一般绿色植物的特征,但不同波段的反射率有所 不同,这和其他研究者的结论吻合[18]:在310~570 nm 段两个时期的反射率较为接近,但在 570~718 nm 段乳熟期反射率明显比灌浆期高,而从 718 nm 开始,乳熟期反射率明显小于灌浆期,到 1 100 nm 左右两者的反射率又变得较为接近。虽然在310~ 1 130 nm 波段范围内 3 种不同水分处理的冬小麦冠 层光谱反射率曲线的形式基本类似,但反射率的大 小明显不同:在360~741 nm 波段范围,随着缺水程 度增加,反射率随之增大,并且增加幅度基本一致; 在 741~930 nm 波段范围,随着缺水程度增加,反射 率随之减小。这同谷艳芳等人在黄淮海地区的研究 结果基本一致[16]。基于以上结果,参照 MODIS 相应 通道的光谱范围,计算了可以表征植被生长状况的 各种遥感指数,初步筛选出对干旱响应相对敏感的 指数是 RVI、NDVI、EVI,在实际应用这些指数监测宁 南山区冬小麦干旱情况时,根据具体情况可优先在 RVI 和 NDVI 中选择,其次可以考虑选用 EVI。

参考文献:

- [1] 鲁向晖,隋艳艳,高 麟,等.宁夏南部山区不同耕作方式对冬 小麦产量及水分利用效率的影响[J].干旱地区农业研究, 2007,25(5):35—39.
- [2] 王龙昌,贾志宽,宁南山区冬小麦覆膜补灌试验研究[J].西北 农业学报,1999,8(4):83—86.
- [3] 李 强,赵伯图,李淑英,等,宁南山区冬小麦越冬死苗原因及 保苗措施[J],宁夏农林科技,1997,(3):47-49.

- [4] 张万宝,骆安胜.宁南山区客灌农业非充分灌溉制度试验[J]. 宁夏农林科技,2003,(5);9—10.
- [5] 卢 玲,李 新,Frank Veroustraete. 黑河流域植被净初级生产力的遥感估算[J]. 中国钞模,2005,25(6):823—830.
- [6] 宋 怡,马明国.基于 SPOT VEGETATION 数据的中国西北植被 覆盖变化分析[J].中国沙漠,2007,27(1):89—93,173.
- [7] 祈 元,王一谋,王建华,等.基于遏感和 CIS 技术的荒漠化动态分析——以宁夏盐池为例[1].中国沙漠,2005,23(3):275—279.
- [8] 李青侠,张 靖,郭 伟,等. 微波辐射计遥感海洋盐度的研究 进展[1]. 海洋技术,2007,26(3):58—63.
- [9] 袁玉江,胡列群,塔克拉玛干沙漠腹地冬季地面反射光谱特征 初探[J],中国沙漠,1999,19(1);23-27.
- [10] 傅国斌,刘昌明.遥感技术在水文学中的应用与研究进展[J]. 水科学进展,2001,12(4):547—559.
- [11] Wang J H, Huang W J, Zhao C J. Estimation of leaf biochemical components and grain quality indicators of inter wheat from spectral reflectance[J]. Journal of Remote Sensing, 2003, 7(4):277-284.
- [12] 王小平,郭 妮.遥感监测干旱的方法及研究进展[J].干旱气象,2003,21(4):76—81.
- [13] Yang Keming, Chen Yunhao, Guo Dazhi, et al. Spectral information detection and extraction of wheat stripe rust based on hyperspectral image[I]. Acta Photonica Sinica, 2008, 31(1):145-150.
- [14] Cheng Y B, Zarco-Tejada P J, Riao D, et al. Estimating vegetation water content with hyperspectral data for different canopy scenarios: Relationships between AVIRIS and MODIS indexes [J]. Remote Sensing of Environment, 2006, 105(4):354-366.
- [15] 姚云军,秦其明,张自力,等.高光谱技术在农业遥感中的应用研究进展[J].农业工程学报,2008,24(7):301-306.
- [16] 谷艳芳,丁圣彦,陈海生,等.干旱胁迫下冬小麦(Triticum aestivum)高光谱特征和生理生态响应[J].生态学报,2008,28(6): 2690—2697.
- [17] 赵春江,黄文江,王纪华,等.不同品种、肥水条件下冬小麦光 谱红边参数研究[J].中国农业科学,2002,35(8):980—987.
- [18] 张 凯,茅 妮,王小平,等.能中黄土高原春小麦光谱反射特征[J].生态学杂志,2008,27(3):369—373.

Characters of spectrum of winter wheat canopy and its response to drought in the mountainous region of south Ningxia

ZHANG Lei^{1,2}, LIU Jing^{1,2}, ZHANG Xue-yi², HAN Ying-juan², YUAN Hai-yan²
(1. Ningxia Key Lab for Meteorological Disaster Prevention and Reduction, Yinchuan, Ningxia 750002, China;
2. Ningxia Meteorological Science Institute, Yinchuan, Ningxia 750002, China)

Abstract: The canopy spectrum characters were observed, by Unispec – SC mono channel portable spectrograph, in the Zhongyin – 16 winter wheat fields under different water supply treatments arranged at Longde county. According to many vegetation index methods calculated by MODIS data, the vegetation indexes by canopy spectrum observation data were calculated and selected which responded to drought sensitively. The result shows that the canopy spectrum difference between various drought treatments is in evidence in the period of milky and filling. Although the spectrum curves are similar, the reflection rate in most of spectrum band is different. We should select RVI and NDVI first, and EVI second, to monitor winter wheat drought in south Ningxia.

Keywords: mountainous region of south Ningxia; winter wheat; spectrum character; drought